蛇形铺管形状对海底管道横向屈曲的影响

基金项目: 国家自然科学基金重点项目 (50439010)

刘羽霄、李 昕、周 晶

(大连理工大学海岸与近海工程国家重点实验室,辽宁大连 116023)

摘 要:蛇形铺管法是一种有效控制管道横向屈曲的方法,该方法的关键是使管道在预设位置激发屈曲,且管道后屈曲的弯矩及应变控制在合理的范围内。文章提出了一种新的蛇形铺管形状,即正弦曲线形状,基于 ANSYS 软件建立了用于平坦海床上蛇形铺设管道横向屈曲分析的计算模型,对正弦曲线形状的蛇形铺管形状进行了分析,并与工程普遍采用的弧形铺管形状进行了对比。对比分析表明,正弦曲线铺管形状有效地降低了管道屈曲的临界荷载,且管道后屈曲的弯矩及应变更低。

关键词:海底管道;横向屈曲;铺管形状;临界荷载;后屈曲

中图分类号: TE53 文献标识码: A 文章编号: 1001-2206 (2010) 03-0025-04

0 引言

海底管道在工作荷载作用下可能发生整体屈曲,限制屈曲的传统方法是应用覆盖物,即采用挖沟埋设或堆石的方法。然而,覆盖物在保护管道的同时也增加了沿管道的有效轴向力。越来越多的海底管道需要在高温、高压下运行,通过大量的覆盖物来限制隆起屈曲显得很不经济。管道在控制下屈曲的方法越来越多地应用于裸铺海底管道的设计,管道在控制下的屈曲即允许管道在预设位置屈曲,并使管道的后屈曲(弯矩及应变)控制在允许的范围内。蛇形铺设管道法、铺设枕木法、分布浮力法都是控制管道横向屈曲的有效方法,其中蛇形铺设法得到了最多的应用[1-5]。蛇形铺设管道方法的设计关键是如何更好地控制管道的屈曲,即激发沿管道预设位置发生屈曲,且将管道后屈曲的弯矩及应变控制在合理的范围以内。

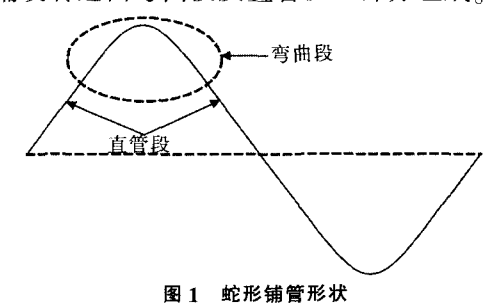
本文提出了一种新的蛇形铺管形状,蛇形铺 设管道弯曲段为正弦曲线。基于有限元模型研究 了蛇形铺设管道的前屈曲及后屈曲反应。

1 蛇形铺管法

1.1 基本概念

在预定位置设置一系列水平缺陷是为了激发 管道在这些位置发生屈曲,以使管道热膨胀分布 在多个屈曲之间,而不是集中在少数的屈曲位置, 可以有效降低管道轴向荷载。与其他控制海底管 道横向屈曲的方法相比,蛇形铺管方法的优点是费用低,经济合理^[6]。

图 1 为蛇形铺管形状的示意。由图 1 可知,蛇形铺设管道由弯曲段及直管段两部分组成。



1.2 弧形 (Arc)

弧形铺管形状被广泛地用于工程实践中,用 以控制管道的横向屈曲^[2-3],其中弧长、铺管角度 及铺管半径如图 2 所示,三者之间的关系由公式 (1) 确定。

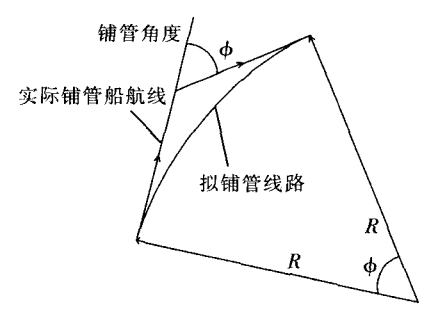


图 2 蛇形铺管弯曲段形状

(1)

$$L_{
m arc} = R \phi$$

式中 L_{arc} ——弧长;

R——铺管半径;

φ----铺管角度。

1.3 正弦形 (Sine)

图 3 为本文提出的新的蛇形铺设管道的弯曲段形状——正弦曲线。

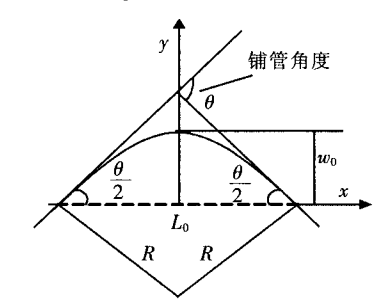


图 3 新的蛇形铺设管道弯曲段

图 3 中形状可用公式 (2) 表示:

$$y_0 = w_0 \sin\left(\frac{\pi}{2} - \frac{\pi x}{L_0}\right) \tag{2}$$

式中 y_0 —蛇形铺设管道弯曲段相对于 x 轴的 y 坐标值;

 w_0 —蛇形铺设管道弯曲段相对于 x 轴的 y 坐标幅值;

L₀——蛇形铺设管道弯曲段长度。

图 3 中蛇形铺管半径、铺管段长度及铺管角度满足如下的关系:

$$\sin\frac{\theta}{2} = \frac{L_0}{2R} \tag{3}$$

式中 θ ——蛇形铺设管道弯曲段铺设角度;

R——蛇形铺设管道弯曲段半径。

由公式 (2) 可知:

$$\tan\frac{\theta}{2} = \frac{\pi w_0}{L_0} \tag{4}$$

图 4 是两种蛇形铺管弯曲段形状的对比,其中蛇形铺管弯曲段半径 $R=1~000~\mathrm{m}$,铺管段长度 $L_0=200~\mathrm{m}$,图中为 1/2模型。

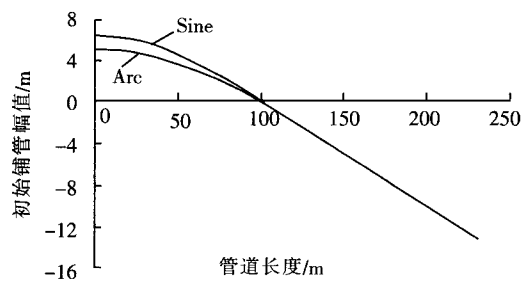


图 4 两种蛇形铺管形状的对比

2 有限元模型

2.1 材料本构模型

管道钢材采用 Ramberg-Osgood 本构模型模拟, R-O 模型的表达式如公式 (5) 所示。X65 管材的 应力—应变关系如图 5 所示。

$$\varepsilon_{x} = \frac{\sigma_{x}}{E_{0}} \left[1 + \frac{n}{1+r} \left(\frac{\sigma_{x}}{\sigma_{y}} \right)^{r} \right]$$
 (5)

式中 ε_x ——应变;

 σ_r ——应力:

 E_0 —初始弹性模量;

 σ_v ——屈服应力;

n, r——R-O 模型参数。

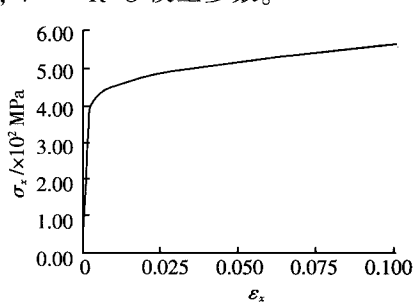


图 5 X65 管材应力---应变关系

海床与管道之间的轴向、横向相互作用力采用 弹簧单元模拟,弹簧单元的力—位移关系如图 6 所 示。其中海床与管道之间相互作用的轴向、横向摩 擦力采用库仑定律计算,如公式 (6) 所示:

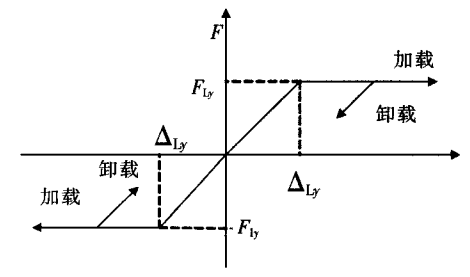


图 6 土弹簧的力--位移关系

2.2 管道与海床的相互作用模型

基于 ANSYS 软件建立了平坦海床上裸铺管道的非线性有限元模型[7-12],管—土相互作用模型的示意如图 7 所示。管道采用 PIPE20 管单元,可以考虑管道的材料非线性。海床与管道之间的非线性弹塑性的轴向、横向相互作用力采用 COMBINE39

弹簧单元模拟,因为主要研究管道横向的屈曲,所 以模型中约束管道竖向的运动。

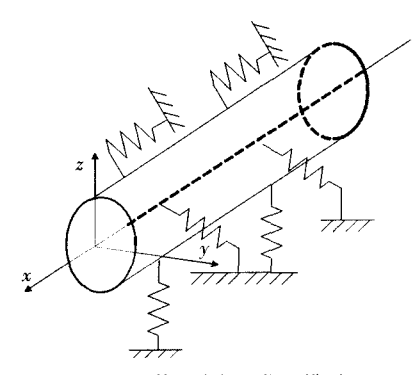


图 7 管 — 土相互作用模型

2.3 数值模型的验证

参考文献 [3] 中的算例,选取铺管半径 $R=900 \,\mathrm{m}, L_0=8, 16, 31.4, 62.8 \,\mathrm{m}$ 时的情况进行了模拟,管道长度 $2\,000 \,\mathrm{m}$,其他管道输入参数如表1 所示,管道的有限元剖分如图 $8\,\mathrm{所示}$ 。

表 1 管道参数

W. I. II. 200				
取值				
508				
2.1				
10				
0.6				
2 000				
0.6				
140				
1.1				
990				
0.6				



本文模型计算结果与文献 [3] 的对比如表 2 所示。可知,本文模拟的结果与文献 [3] 中的结 果相比误差在 4% 以内,由此验证了本文建立的模 型的可信性。

表 2 管道屈曲临界荷载对比

铺管角度/°	文献/kN	FEA/kN	误差/%
0.5	3 250	3 201	1.53
1.0	2 650	2 558	3.60
2.0	2 050	1 966	2.71
4.0	1 750	1 738	0.69

3 两种铺管形状的对比分析

建立两种铺管形状管道的有限元分析模型,其中管道的外直径为 $0.814 \, \mathrm{m}$,内直径为 $0.763 \, 2 \, \mathrm{m}$,管道与海床之间的轴向摩擦系数为 0.87,横向摩擦系数为 0.5,管道长度为 $1\,000 \, \mathrm{m}$,铺管段半径 $R=1\,000 \, \mathrm{m}$,铺管段长度 $L_0=400 \, \mathrm{m}$ 。

两种铺管形状的计算结果如表 3 所示。由表 3 可知,本文提出的 Sine 形铺管形状与 Arc 形铺管形状相比,管道后屈曲最大弯矩降低了 26.0%,塑性应变降低了 99.9%。管道屈曲的临界荷载降低了 27.5%。即与 Arc 形铺管形状相比,本文提出的 Sine 形铺管形状更易于控制管道的屈曲。

表 3 两种蛇形铺管形状对比

	Sine 曲线	Are 曲线	降低/%
最大弯矩/N·m	$0.358\ 919\times 10^7$	$0.485\ 148 \times 10^7$	26.0
轴向塑性应变	$0.375\ 54 \times 10^{-6}$	$0.280\ 27\times 10^{-3}$	99.9
临界荷载/N	$0.211\ 731 \times 10^7$	$0.291 \ 915 \times 10^7$	27.5

当蛇形铺设管道弯曲段为弧形时,研究表明: 当铺管半径一定时,蛇形铺管段长度增加到一定值 后,随着铺管段长度的增加,后屈曲状态下管道的 弯矩降低很小。在铺管半径一定的情况下,当铺管 段长度较大时,本文提出的 Sine 形铺管形状与 Arc 形铺管形状相比,管道后屈曲对应的弯矩及应变均 有明显降低。且本文提出的新的蛇形铺设形状与文 献中相比,管道屈曲的临界荷载亦明显降低,更易 于激发蛇形铺管在预设位置的屈曲,避免管道在非 预设位置发生屈曲。

4 结论

随着现代科技的高速发展,通过铺管船 GPS 自动定位系统可以实现对管道的精确铺设。因此,本文提出了一种新的蛇形铺管形状——正弦曲线形状。

通过对比分析表明,与弧形铺管形状相比,本 文提出的蛇形铺管形状有效地降低了管道屈曲的临 界荷载,更易激发沿管道分布的预设位置的屈曲, 且管道后屈曲变形均得到更好的控制。

参考文献:

- [1] Jiong Guan, Per R Nystrøm, Hans F Hansen. Optimized solutions to control lateral buckling of pipelines with snaked-lay: theoretical and numerical studies[A]. Proc. of OMAE[C]. San Diego, USA, 2007.
- [2] Rundsag J O, Kenny J P, Norge A S. Optimized snaked lay geometry [A]. Proc. of ISOPE[C]. Vancouver, 2008.
- [3] Rathbone A D, Tornes K, Cumming G, et al. Effect of lateral pipelay

胡鹏飞1. 冯翠鑫2

(1.中国石油大学(华东),山东东营 257061; 2.贝特海利科技(北京)有限公司,北京 100085)

摘 要:墨西哥国家石油公司(PEMEX)四套模块钻机为我国第一次自主设计、自主建造的钻深 可达7000 m 的海洋钻机、其国产化率达到了92%、该钻机凭借其技术、价格优势成功地打入了国 际市场,实现我国海上钻机出口零的突破。文章介绍了 PEMEX 模块钻机的技术要求、设计思路、 总体布置、钻机主要设备参数、高压泥浆及泥浆处理系统、泥浆混合及储存系统、固井系统、辅助 系统等。

关键词:海洋钻机:模块钻机:总体布置:技术参数:工艺流程

中图分类号。TE52 文献标识码: B 文章编号: 1001-2206 (2010) 03-0028-05

0 引言

2006年初,中海油服通过国际公开招标,取 得了墨西哥国家石油公司 (PEMEX) 四套模块钻 机建造项目的招标合同。每套模块钻机包含一个 90人的生活楼及钻井深度可达到7000 m的标准模 块装置。PEMEX 模块钻机项目于 2006 年 2 月开始 设计,同年7月详细设计基本完成,2007年5月 开始分批投入使用、经营期 10年。

PEMEX 海上模块钻机是我国第一批钻进能力 可达 7000 m 的钻机, 拥有 100%自主的知识产权。

1 技术要求

为了适应墨西哥海域作业要求,并保证模块钻

机顺利通关、项目建造均按照 API 和墨西哥国家 石油公司有关规范进行四套模块钻机设计工作。

由于四套钻机分别位于不同位置的导管架平 台,有共性也有区别。为了使 PEMEX 模块钻机满 足性能可靠、操作维修方便、施工建造容易等要 求,在进行深入分析、比较、论证的基础上,在确 保功能和技术指标的前提下,优选技术成熟、质量 可靠的设备, 在模块钻机的总体布置及工艺设计过 程中、最大限度满足四套模块钻机设计一致化。

2 技术亮点

钻井 "八大件" ——绞车、泥浆泵、井架、 天车、游车、转盘、水龙头、方钻杆、全部采用国

- imperfections on global buckling design [A]. Proc. of the Eighteenth Int. Offshore and Polar Eng. Conf[C]. Vancouver, 2008.
- [4] Hooper J, Maschner E, Farrant T. HT/HP Pipe-in-Pipe Snaked Lay Technology—Industry Challenges[A]. Proc. of OTC[C]. Houston, 2004.

·

- [5] Hobbs R E, Ling F. Thermal buckling of pipelines close to restraints [A]. Proc. of the Inter. Conf. on OMAE[C]. Hague, Netherlands, 1989, (V): 121-127.
- [6] Yong Bai, Qiang Bai. Subsea Pipelines and Risers[M]. Elsevier Science Ltd, 2005.
- [7] Lars Christensen, Perth, Displacement Control in Lateral Buckling of "Short" Pipelines[A]. Proceedings of the Fifteenth (2005) International Offshore and Polar Engineering Conference[C]. Seoul, Korea, 2005.
- [8] David Bruton, Malcolm Carr, Michael Crawford, et al. The safe design of hot on-bottom pipelines with lateral buckling using the design guideline developed by the SAFEBUCK joint industry project [A].

- Proc. of Deep Offshore Technology Conf. [C]. Vitoria, Espirito Santo, Brazil. 2005.
- [9] Enrico Torselleti, Luigino Vitali, Erik Levold. Snaking of submarine pipelines resting on flat sea bottom using finite element method [A]. Proc 9th Int. Offshore and Polar Eng. Conf.[C]. Brest, France, 1999.
- [10] Nader Yoosef-Ghodsi. Analysis of buried pipelines with thermal applications [D]. Canada: University of Alberta, 2002.
- [11] Costa A M, Oliveira Cardoso, Santos Amaral C, et al. Soil-structure interaction of heated pipeline buried in soft clay [A]. International Pipeline Conference[C]. Vitoria, Espirito Santo, Brazil, 2005.

作者简介:刘羽霄 (1978-),女,山东临沂人,大连理工 大学在读博士生、主要从事海底管道破坏机理研究工作。 收稿日期: 2010-01-20